

WYNIKI BADAŃ MIKROPALEONTOLOGICZNYCH UTWORÓW JURY GÓRNEJ, KREDY GÓRNEJ I MIOCENU W OTWORACH WIERTNICZYCH TROJANOWICE 2 I CIANOWICE 2 (POŁUDNIOWO-WSCHODNIA CZĘŚĆ WYZYNY KRAKOWSKO-CZĘSTOCHOWSKIEJ)

RESULTS OF MICROPALAEONTOLOGICAL INVESTIGATIONS OF THE UPPER JURASSIC, UPPER CRETACEOUS AND MIocene SEDIMENTS IN THE TROJANOWICE 2 AND CIANOWICE 2 BOREHOLES (SOUTH-EASTERN PART OF THE KRAKÓW-CZĘSTOCHOWA UPLAND)

BARBARA OLSZEWSKA¹

Abstrakt. Z otworów wiertniczych Trojanowice 2 i Cianowice 2 opracowano mikropaleontologicznie utwory miocenu, kredy górnej, jury górnej i stropu jury środkowej. Miocen (otwór Trojanowice 2) jest reprezentowany przez utwory ognia ilów spirialisowych formacji z Machowa z charakterystyczną *Velapertina indigena* (Łuczkowska) (późny baden) oraz przez warstwy skawińskie z *Praeorbulina glomerosa* (Blow) (wczesny baden). Utwory kredy górnej z uwagi na obecność w zespołach form zbliżonych do *Stensioeina exculta* (Reuss) wieleko-odniesiono do późnej kredy. Utwory jury górnej zawierają trzy zróżnicowane gatunkowo zespoły mikroskamieniałości: 1 – z *Protomarssonella jurassica* (Mityanina) i *Colomisphaera carpathica* (Borza) (późny oksford), 2 – z *Ophthalmidium strumosum* (Gümbel) i *Paalzowella turbinella* (Gümbel) (?środkowy-wczesny oksford); 3 – *Globuligerina oxfordiana* Grigelis, *Colomisphaera fibrata* (Nagy) i *Comittosphaera czestochowiensis* Rehánek (wczesny oksford). Wapienie krynowe i piaskowce allochemiczne stropu jury środkowej zawierały ubogi zespół otwornic aglutynujących kelowej z *Verneuilinoides minimus* (Kosyreva), *Protomarssonella osowiensis* Bielecka et Styk i *Dorothia insperata* Bułynnikova. W utworach tych stwierdzono również obecność gatunku *Bosniella croatica* (Gušić) związanego z obszarami płytakowodnej sedymentacji weglanowej.

Słowa kluczowe: biostratygrafia, mikroskamieniałości, miocen, kreda górska, jura środkowa i górska, Trojanowice 2, Cianowice 2, Wyżyna Krakowsko-Częstochowska.

Abstract. Miocene, Upper Cretaceous and Middle/Late Jurassic sediments from the Trojanowice 2 and Cianowice 2 boreholes were studied for microfossils. Miocene sediments (Trojanowice 2 borehole only) are represented by the "Spirialis Clays" member of the Machów Formation (Late Badenian) with *Velapertina indigena* (Łuczkowska), and by the Skawina Beds (Early Badenian) with *Praeorbulina glomerosa* (Blow). Upper Cretaceous (Senonian) sediments are documented by the occurrence of forms similar to *Stensioeina exculta* (Reuss). Upper Jurassic sediments contain three different assemblages: 1 – with *Protomarssonella jurassica* (Mityanina) and *Colomisphaera carpathica* (Borza) (Late Oxfordian); 2 – with *Ophthalmidium strumosum* (Gümbel) and *Paalzowella turbinella* (Gümbel) (?Middle-Early Oxfordian); 3 – with *Globuligerina oxfordiana* Grigelis, *Colomisphaera fibrata* (Nagy) and *Comittosphaera czestochowiensis* Rehánek (Early Oxfordian). Crinoidal limestone and allochemic sandstone of the uppermost Middle Jurassic sediments contain an impoverished assemblage of agglutinated foraminifers: *Verneuilinoides minimus* (Kosyreva), *Protomarssonella osowiensis* (Bielecka et Styk) and *Dorothia insperata* Bułynnikova. Additionally, a typical carbonate platform foraminifer *Bosniella croatica* (Gušić) is observed.

Key words: biostratigraphy, microfossils, Miocene, Upper Cretaceous, Middle–Upper Jurassic, Trojanowice 2 and Cianowice 2 boreholes, Kraków–Częstochowa Upland.

¹ Państwowy Instytut Geologiczny – Państwowy Instytut Badawczy Oddział Karpacki, ul. Skrzatów 1, 31-560, Kraków;
e-mail: barbara.olszewska@pgi.gov.pl

WSTĘP

Zadaniem autorki była analiza mikropaleontologiczna utworów (części jury środkowej i górnej, kredy górnej i miocenu) nawierconych w otworach Trojanowice 2 i Cianowice 2 w programie płytowych wierceń badawczych realizowanych przez Państwowy Instytut Geologiczny jako temat 21.9100.0501.00. Badane otwory zlokalizowano w południowo-wschodniej części Wyżyny Krakowsko-Częstochowskiej na południe od miejscowości Skała.

Obszar, na którym zlokalizowano obydwa otwory, od XIX wieku był przedmiotem intensywnych badań geologicznych zakończonych licznymi publikacjami. Obejmowały one zarówno zagadnienia tektoniki (miedzy innymi: Wiśniowski, 1900; Dżułyński, 1953; Bogacz, 1967; Rutkowski, 1989; Felisiak, 1992; Wieczorek i in., 1995; Matyszkiewicz i in., 2006), sedymentacji (miedzy innymi: Za-

ręczny, 1894; Dżułyński, 1952; Alexandrowicz, 1954, 1960, 1969; Bukowy, 1960, 1962; Gradziński, 1957; Kopik, 1979; Matyszkiewicz, 1989, 1997; Krajewski, 2000; Matyszkiewicz i in., 2001; Krajewski, Matyszkiewicz, 2004; Ziółkowski, 2007) jak i stratygrafii utworów jury, kredy i kenozoiku (miedzy innymi: Małecki, 1952, 1995; Liszka, 1955; Alexandrowicz, 1956, 1963a, b, 1971; Radwański, 1968; Jurkiewiczowa, 1974; Marcinowski, 1974; Tarkowski, Liszka, 1982; Trammer, 1989; Kudrewicz, Olszewska-Najbert, 1997; Matyja, Wierzbowski, 2004; Machaniec, Za-pałowicz-Bilan, 2005). Wykonane otwory wiernicze Trojanowice 2 i Cianowice 2 dostarczyły interesujących danych stratygraficznych uzyskanych na podstawie analizy otwornic, wapiennego nanoplanktonu, wapiennych cyst dinoflagellata i innych mikroskamieniałości.

MATERIAŁ I METODA BADAŃ

Z otworu wierniczego Trojanowice przeanalizowano 22 próbki z utworów miocenu oraz 55 próbek ze zwięzłych utworów jury górnej i stropu jury środkowej (w tym 20 próbek z utworów jury udostępnionych przez prof. dr. hab. B. Matyję z Uniwersytetu Warszawskiego).

Z otworu Cianowice 2 opracowano 47 próbek pobranych przez autorkę z utworów jury górnej i stropu jury środkowej oraz 23 próbki z utworów jury udostępnione przez prof. dr. hab. B. Matyję z Uniwersytetu Warszawskiego. Próbki z utworów miękkich poddano standardowej preparatyce wodnej, z utworów zwięzłych (głównie jury górnej) wykonano płytki cienkie.

Analizę mikropaleontologiczną prowadzono przy użyciu mikroskopu Wild M3 firmy Wild Leitz, w świetle odbitym oraz mikroskopu polaryzacyjnego Eclipse LV 100 Pol firmy Nikon, w świetle przechodzącym. Zdjęcia otwornic mioceńskich (tabl. I) wykonano w Państwowym Instytucie Geologicznym w Warszawie na mikroskopie skaningowym, natomiast zdjęcia mikroskamieniałości z płytka cienkich (tabl. II-V) wykonano aparaturą NIS-Elements firmy Nikon.

Rozmieszczenie stwierdzonych mikroskamieniałości w utworach jury górnej w badanych otworach przedstawiono w tabelach 1 i 2. Zasięgi wiekowe ważniejszych mikroskamieniałości przedstawia tabela 3.

WYNIKI ANALIZY MIKROPALEONTOLOGICZNEJ

TROJANOWICE 2

Miocen

Profil utworów miocenu w otworze Trojanowice 2 przedstawia się następująco.

Głębokość 2,0–52,0 m, ogniwo ilów spirialisowych formacji z Machowa.

Do charakterystycznych mikroskamieniałości tego interwału należą liczne otwornice, radiolarie oraz spirytyzowane ośrodkie pteropodów z rodzajów *Limacina* i *Spiratella*.

Zespół otwornic składa się z gatunków: *Uvigerina semior-nata* (d'Orbigny) (tabl. I, fig. 12), *U. aculeata* (d'Orbigny), *Brizalina dilatata* (Reuss), *Globorotalia scitula* Brady, *Tenu-itellinata tarchanensis* (Subbotina), *Velapertina indigena*

(Łuczkowska) (tabl. I, fig. 8), *Globigerina bulloides* d'Orbi-gny (tabl. I, fig. 7), *G. concinna* (Reuss) (tabl. I, fig. 1), *Globigerinella regularis* (d'Orbigny) (tabl. I, fig. 6), *Globigerinita uvula* (Ehrenberg), *Globoturborotalita druryi* (Akers) (tabl. I, fig. 2), *Paragloborotalia mayeri* (Cushman et Ellisor), *Tur-borotalita quinqueloba* (Natland) (tabl. I, fig. 3). Pod względem składu gatunkowego powyższy zespół można korelować z poziomami: z *Neobulimina longa* (Łuczkowskiej, 1964) oraz „zespołem III A” Alexandrowicza, 1963a) wyróżnionymi w profilu miocenu zapadliska przedkarpackiego ponad osadami chemicznymi.

Głębokość 54,0–67,0 m, warstwy skawińskie.

W powyższym interwale stwierdzono bogate i zróżnicowane gatunkowo zespoły otwornicowe wczesnego badenu (morawu).

Tabela 1

**Rozmieszczenie mikroskamieniałości w badanym odcinku utworów jury środkowej i górnej
w otworze wiertniczym Trojanowice 2**

Distribution of microfossils in the studied interval of the Middle and Upper Jurassic sediments
in the Trojanowice 2 borehole

Głęb. [m]	Wiek	Otwornice	Inne	Typ zespołu (Olszewska, 2004, 2007)
70		<i>P. jurassica</i> , <i>H. arcuata</i> , <i>B. tuberculata</i> , <i>S. tenuissima</i>		
80		<i>P. jurassica</i> , <i>B. tuberculata</i> , <i>O. strumosum</i>	serpula	
90		<i>R. helveticus</i> , <i>P. turbinella</i>		
100		<i>P. jurassica</i> , <i>R. helveticus</i> , <i>H. arcuata</i> , <i>A. irregularis</i> <i>M. basiliensis</i> , <i>P. jurassica</i> , <i>S. tenuissima</i>	<i>O. gustafsonii</i> <i>G. alpina</i>	
110	górnego oxford	<i>O. stumosum</i> , <i>O. oxfordianum</i> , <i>P. elevata</i> , <i>N. conica</i> , <i>Q. terfa</i> <i>O. oxfordianum</i> , <i>Q. terfa</i> <i>R. dentaliniformis</i> , <i>P. feifeli</i> <i>P. turbinella</i> , <i>P. heersumensis</i>		
120		<i>A. irregularis</i> , <i>Q. terfa</i> , <i>O. pseudocarinatum</i>	<i>O. gustafsonii</i>	
130		<i>A. irregularis</i>	<i>G. alpina</i>	
140		<i>A. irregularis</i>		
150		<i>P. jurassica</i> , <i>S. tenuissima</i> , <i>T. jurassica</i>		
160		<i>R. helveticus</i> , <i>S. polygyrata</i>	<i>O. gustafsonii</i>	
170		<i>P. jurassica</i> , <i>R. helveticus</i>		
180		<i>A. coprolithiformis</i> , <i>P. jurassica</i> , <i>P. feifeli</i>		
190		<i>A. coprolithiformis</i> , <i>S. elongata</i> , <i>Epistomina</i> sp.	<i>G. alpina</i> <i>Saccocoma</i>	A
200				C
210				
220				
230				
240	dolny kelowej	<i>B. tuberculata</i> <i>S. polygyrata</i> , <i>R. helveticus</i>		
250		<i>H. arcuata</i> , <i>B. tuberculata</i> , <i>Reophax</i> sp.		
260		<i>O. strumosum</i> , <i>S. bolgradensis</i> , <i>G. oxfordiana</i>		
270		<i>S. andreae</i> , <i>O. sagittum</i>		
280		<i>S. tenuissima</i> , <i>G. oxfordiana</i>	<i>C. fibrata</i>	
290		<i>O. strumosum</i> , <i>S. infima</i>	<i>O. gustafsonii</i>	
		<i>S. bolgradensis</i>	<i>C. fibrata</i>	
		<i>U. uvigeriniformis</i> , <i>S. bolgradensis</i> , <i>G. oxfordiana</i>	<i>C. czestochowiensis</i>	A
		<i>D. insperata</i> , <i>O. agglutinans</i> , <i>Q. occulta</i> , <i>P. aff. michalski</i>		
		<i>D. insperata</i> , <i>B. croatica</i> , <i>V. minimus</i>		

Tabela 2

**Rozmieszczenie mikroskamienialości w badanym odcinku utworów jury śródkowej i górnej
w otworze wiertniczym Cianowice 2**

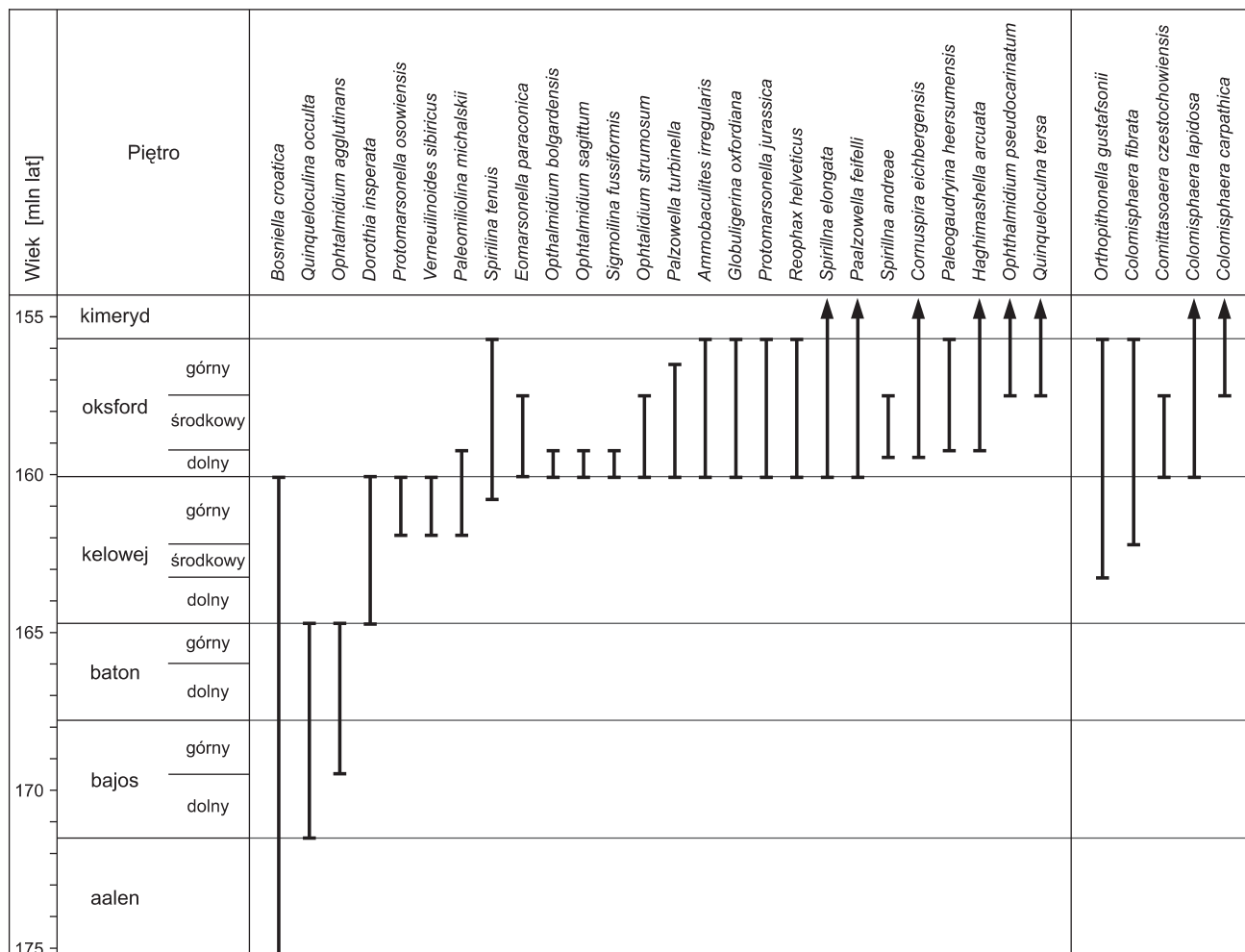
Distribution of microfossils in the studied interval of the Middle and Upper Jurassic sediments
in the Cianowice 2 borehole

Głęb. [m]	Wiek	Otwornice	Inne	Typ zespołu (Olszewska, 2004, 2007)
10	górny oxford	<i>P. donieziana</i> , <i>O. strumosum</i> , <i>O. oxfordianum</i> , <i>P. feifeli</i> <i>S. ramosa</i> , <i>O. oxfordianum</i> , <i>P. turbinella</i>	<i>S. exculta</i> radiolarie radiolarie	
		<i>S. infima</i> , <i>S. elongata</i> , <i>P. jurassica</i> , <i>P. feifeli</i>	<i>C. lapidosa</i> <i>C. czestochowiensis</i> <i>P. saccocoma</i>	
		<i>S. tenuissima</i> <i>E. conica</i> , <i>P. turbinella</i> , <i>P. heersumensis</i>	<i>O. gustafsonii</i> <i>Saccocoma</i> sp.	
		<i>P. feifeli</i> , <i>O. pseudocarinatum</i>	<i>G. alpina</i>	
		<i>P. donieziana</i> , <i>P. jurassica</i> , <i>S. pogyrrata</i>	<i>C. lapidosa</i>	
		<i>O. pseudocarinatum</i> , <i>P. elevata</i> , <i>P. striata</i>	ślimaki	
		<i>A. coprolithiformis</i> , <i>A. irregularis</i> , <i>O. strumosum</i> , <i>P. jurassica</i> , <i>P. feifeli</i> <i>P. heersumensis</i>	ślimaki	
		<i>P. jurassica</i> , <i>S. infima</i> , <i>O. pseudocarinatum</i> , <i>O. strumosum</i> , <i>G. oxfordiana</i>		
		<i>P. jurassica</i> , <i>A. irregularis</i> , <i>Q. tersa</i>		
		<i>A. irregularis</i> , <i>P. elevata</i> , <i>P. turbinella</i> , <i>P. heersumensis</i>	<i>C. carpathica</i>	
		<i>Q. frumenta</i> , <i>O. pseudocarinatum</i> <i>S. infima</i> , <i>Q. tersa</i> , <i>A. coprolithiformis</i>		
		<i>O. strumosum</i>	<i>C. carpathica</i>	
		<i>O. pseudocarinatum</i> , <i>S. tenuissima</i> , <i>G. oxfordiana</i> <i>O. strumosum</i> , <i>S. tenuissima</i> , <i>H. cf. arcuata</i>	<i>O. gustafsonii</i> <i>C. czestochowiensis</i>	
		<i>A. coprolithiformis</i> , <i>A. irregularis</i> , <i>O. strumosum</i> , <i>P. feifeli</i>		
		<i>P. dumortieri</i> , <i>P. cf. heersumensis</i> , <i>S. tenuissima</i> , <i>O. pseudocarinatum</i> <i>G. oxfordiana</i> , <i>B. jurassica</i>		
		<i>A. irregularis</i> , <i>H. cf. arcuata</i> , <i>S. tenuissima</i> , <i>G. oxfordiana</i> <i>P. elevata</i> , <i>O. strumosum</i> , <i>G. oxfordiana</i>	<i>C. czestochowiensis</i>	
		<i>R. helveticus</i> , <i>O. strumosum</i> , <i>O. pseudocarinatum</i> , <i>S. tenuissima</i> <i>C. eichbergensis</i>	<i>G. alpina</i>	C
		<i>O. strumosum</i> , <i>G. oxfordiana</i>	<i>G. alpina</i>	
		<i>O. bolgradensis</i> , <i>P. turbinella</i> , <i>G. oxfordiana</i>		
		<i>A. coprolithiformis</i> , <i>O. strumosum</i> , <i>S. tenuissima</i> , <i>P. turbinella</i> , <i>G. oxfordiana</i> (dość liczna) <i>P. jurassica</i> , <i>A. coprolithiformis</i> , <i>O. pseudocarinatum</i> , <i>S. polygyrata</i> , <i>Epistomina</i> sp. <i>S. fusiiformis</i> , <i>S. orbicula</i> , <i>G. oxfordiana</i>		
		<i>S. andreae</i> , <i>O. bolgradensis</i> , <i>G. oxfordiana</i> , <i>S. fusiiformis</i> , <i>C. eichbergensis</i>		
		<i>D. insperata</i> , <i>P. osowiensis</i> , <i>Trochaminna</i> sp., <i>V. favus</i> , <i>Subbdelloidina</i> sp.		
		<i>Trochammina</i> sp., <i>V. minimus</i> , <i>Ammobaculites</i> sp.		
240	dolny kelowej			

Tabela 3

Zasięgi stratygraficzne ważniejszych mikroskamieniałości z badanych utworów jury w otworach wiertrniczych Trojanowice 2 i Cianowice 2

Stratigraphic distribution of significant microfossils of the studied Jurassic sediments
in Trojanowice 2 and Cianowice 2 boreholes



W utworach z głębokości 54,0–58,0 m w skład zespołów wchodzą, między innymi: *Spirorutilus carinatus* (d'Orbigny), *Matrinotilla communis* (d'Orbigny), *Cylindroclavulina rufa* (Costa), *Vaginulina legumen* (Linne), *Dimorphina akneriana* (Neugeboren), *Bolivina hebes* Macfayden, *Coryphostoma digitalis* (d'Orbigny), *Marginulina hirsuta* d'Orbigny, *Hansenisca soldanii* (d'Orbigny), *Uvigerina acuminata* Hosius, *Uvigerina brunnensis* Karrer, *Siphonina reticulata* (Czjzek), *Ehrenbergina serrata* Reuss, *Anomalinoides badenensis* (d'Orbigny).

W grupie gatunków planktonicznych, w kolejnych zespołach tego interwału, zaznacza się przewaga określonych form, np. *Globoconella bykovae* (Aisenstadt) lub *Praeorbulina glomerosa* (Blow) (tabl. I, fig. 4). Zespoły te można ko-relować z „zespołem II B” Alexandrowicza (1963a) lub poziomem z *Candorbulina universa* Łuczkowskiej (1964), a także z tzw. „warstwą orbulinową” Kirchnera (1956).

Interwał na głębokości 60,0–64,0 m charakteryzuje się licznym występowaniem w zespołach otwornic rodzaju *Uvigerina*, między innymi: *Uvigerina uniseriata* Jedlitschka, *U. pygmaea* Papp et Turnovsky, *U. acuminata* Hosius. Liczne występują również *Vaginulina legumen* (Linne), *Stilostomella adolphina* (d'Orbigny), *Stilostomella consobrina* (d'Orbigny), *Brizalina antiqua* (d'Orbigny), *Cassidulina laevigata* d'Orbigny, *Lapugyina schmudi* Popescu, *Lenticulina* div. sp. Bardzo charakterystyczny dla omawianego interwału jest zespół otwornic planktonicznych, który tworzą: *Globigerina bulloides* d'Orbigny, *Globigerinoides trilobus* (Reuss), *G. immaturus* (Le Roy), *Globoquadrina altispira* (Cushman et Jarvis), *Dentoglobigerina baroemoenensis* (Bermudez) (tabl. I, fig. 5), *D. globosa* (Bolli), *Paragloborotalia mayeri* (Cushman et Ellisor), *Globoconella bykovae* (Aisenstadt), *Tenuitellinata pseudoedita* (Subbotina). Zespół ten najbardziej odpowiada zespołom otwornic tzw. po-

ziomu uwigerinowego Kirchnera (1956) stanowiącego najwyższy poziom badenu na przedpolu Karpat, a także „zespołowi II A” z miocenu Górnego Śląska (Alexandrowicz, 1963a) o takim samym położeniu stratygraficznym.

Na głębokości 66,0 i 67,0 m zespoły otwornic składały się z wymieszanych form późnej kredy i miocenu.

Kreda górna

Głębokość 69,0–69,5 m.

Na głębokości 69,0 m ośrodkи węglanowe form kredowych występuły w towarzystwie górnojurajskiej formy *Rumanolina elevata* (Paalzow). Jednorodny, choć ubogi zespół otwornic późnej kredy stwierdzono jedynie na głębokości 69,5 m, ponad utworami jury górnej. Tworzyły go źle zachowane, gatunki: *Stensioeina cf. exculta* (Reuss), *Hedbergella monmouthensis* (Olsson), *Globigerinelloides asperus* (Ehrenberg), *Heterohelix* sp. Obecne były również elementy gąbek i radiolarie. Gatunek *Stensioeina exculta* (Reuss) jest znany na Niżu Polskim z interwału koniak–kampan (Gawor-Biedowa i in., 1984). Obecność na głębokości 66,0 m, wśród elementów miocenu, kredowego rodzaju *Bolivinoides* sugeruje, że erodowane osady mogły być młodsze od późnego santonu (Hiltermann, 1963).

Jura

Poddany badaniom mikropaleontologicznym odcinek rdzenia (71,6–276,3 m) obejmował strop utworów jury średniej i jurę górną. Dodatkowo opracowano jedną płytę cienką z głębokości 294,7 m.

Zespoły mikroskamieniałości obserwowane w płytach cienkich z utworów jury średniej i górnej z otworu Trojnowice 2 (choć nie mają porównywalnej do amonitów rozdzielczości stratygraficznej) wykazują pewne zróżnicowanie pionowe.

Głębokość 71,6–160,0 m.

Pod względem mikrofacjalnym utwory tego interwału to: biolity, pakstony i wakstony mikrobialitowe z licznymi przedstawicielami *Crescentiella morronensis* (Crescenti) (tabl. V, fig. 9).

Częste są zoaria lub fragmenty zoeciów mszywiów, jeżowców i wieloszczetów (np. *Terebella lapilloides* Münster) (tabl. V, fig. 8). Niekiedy występują fragmenty szkieletów, które można odnieść do pelagicznych liliowców z rodzaju *Saccocoma* (tabl. V, fig. 6). Oprócz fragmentów makrofauny są obecne otwornice, wapienne dinocysty i wapienne glony. Otwornice tworzą charakterystyczny zespół złożony z: *Protomarssonella jurassica* (Mityanina) (tabl. III, fig. 1), *Ammobaculites irregularis* (Gümbel) (tabl. III, fig. 4), *Paalzwella seifeli* (Paalzow) (tabl. III, fig. 2), *Rumanolinla elevata* (Paalzow), *Paleogaudryina heersumensis* (Lutze) (tabl. III, fig. 5), *Spirillina tenuissima* Gümbel (tabl. II, fig. 11), *Spirillina elongata* Bielecka et Pożaryski (tabl. II, fig. 10), *Ophthalmidium pseudocarinatum* Dain (tabl. II, fig. 6), *Quinqueloculina tersa* Danitsch (tabl. II, fig. 7). Rzadkie wapien-

ne dinocysty są reprezentowane przez gatunek *Orthopithonella gustafsonii* (Bolli) (tabl. V, fig. 4), a wapienne glony przez zielenicę *Globochaete alpina* Lombard. Na podstawie zasięgów stratygraficznych otwornic (tab. 3) oraz przez porównanie składu wyżej opisanego zespołu z pozycją zespołów o analogicznym składzie gatunkowym (Olszewska, 2007) wiek zespołu określono na późny oksford.

Głębokość 160,0–244,0 m.

Wapienie skaliste tego interwału pod względem mikrofacjalnym to głównie wakstony i pakstony z tuberoidami. Wyступający w nich zespół mikroszczątków organicznych jest ubogi. Dotyczy to zwłaszcza otwornic reprezentowanych głównie przez gatunki długowieczne, takie jak *Reophax helveticus* (Haeusler), *Bullopora tuberculata* Sollas i *Ophthalmidium strulosum* (Gümbel). Zasięg wiekowy zespołu na podstawie literatury można określić na oksford.

Głębokość 250,5–272,0 m.

Ten interwał charakteryzuje występowanie wapieni gąbkowych. Pod względem mikrofacjalnym są to wakstony spikulo-wy, wakstony z tuberoidami i mumiami gąbkowymi. Wyступają także struktury stromatolitowe (głębokość 271,0 m). Powszechnie są fragmenty zoariów mszywiów. Na głębokości 271,0–272,0 m w zespołach mikroskamieniałości są obecne radiolarie. Wzbogaceniu gatunkowemu ulegają stałe elementy zespołu mikroskamieniałości: otwornice i wapienne dinocysty. Zespół otwornic charakterystyczny dla omawianego interwału tworzą: *Sigmoilina fusiiformis* Danitsch, *Ophthalmidium bolgradensis* Ivan et Dain, *Ophthalmidium sagittum* (Bykova), *Spirillina polygyrata* (Gümbel), *S. andreae* Bielecka.

Od głębokości 250,5 m w zespole pojawia się *Globuligera oxfordiana* (Grigelis) (tabl. III, fig. 7). Charakterystyczny zespół wapiennych dinocyst składa się z *Colomisphaera fibrata* (Nagy) (tabl. V, fig. 2), *Comittosphaera czestochowiensis* Řehanek (tabl. V, fig. 1) i *Orthopithonella gustafsonii* (Bolli). Zasięgi stratygraficzne występujących otwornic (tab. 3) określają dla omawianego interwału wiek wczesnego oksfordu.

Głębokość 272,6–273,0 m.

Wapienie krynoidalne tego interwału oprócz fragmentów trochitów liliowców zawierały nieliczne inne szczątki organiczne. Ubogi zespół otwornic tworzyły: *Verneuilinoides minimus* (Kosyreva), *Dorothia insperata* Bułynnikova, *Protomarssonella osowiensis* Bielecka et Styk, *Ophthalmidium aff. agglutinans* Pazdro, *Quinqueoculina aff. occulta* Antonova, *Paleomiliolina aff. michalskii* (Wiśniowski), ?*Ammobaculites* sp., ?*Trochammina* sp. Wyniki dotychczasowych badań autorki nad stratygrafią stropowych osadów jury średniej w Polsce sugerują, że napotkany zespół otwornic ma, prawdopodobnie, wiek późno kelowej.

Głębokość 294,7 m.

W piaskowcach allochemicznych stwierdzono ubogi zespół źle zachowanych otwornic składający się z gatunków: *Dorothia insperata* Bułynnikova (tabl. IV, fig. 3), *Verneuilinoides minimus* (Kosyreva) (tabl. IV, fig. 6), *Bosniella croatica* (Gušić) (tabl. IV, fig. 5). Wiek zespołu trudno sprecyzować

a uwagi na kontrowersje dotyczące zasięgu wiekowego ostatniego gatunku (Pelissié, Peybernés, 1982; Bassoulet J.-P., 1994; Velić, 2007), choć w zespole przeważają gatunki wskazujące na kelowej (tab. 3).

CIANOWICE 2

Jura

Głębokość 5,5–17,8 m.

Mikroskamieniałości ze słabo zwięzłych margli tego interwału uzyskano metodą maceracji wodnej. Zespoły były bogate w osobniki i zróżnicowane gatunkowo. Zawierały między innymi: *Protomarssonella jurassica* (Mityanina), *Textulariopsis jurassica* (Gümbel), *Spirillina elongata* Bielecka et Pożarski, *Spirillina tenuissima* Gümbel, *Spirillina infima* (Strickland), *Lenticulina quenstedti* (Gümbel), *Lenticulina uhligi* (Wiśniowski), *Planularia polypora* (Gümbel), *Planulina subparalella* (Wiśniowski), *Eoguttulina oolithica* (Terquem), *Paalzowella feifeli* (Paalzow), *Paalzowella turbinella* (Gümbel), *Ophthalmidium strumosum* (Gümbel), *Ophthalmidium oxfordianum* (Deecke). Otwornicom towarzyszyły również liczne elementy gąbek, ryncholity, kolce i płytki jeżowców, skleraty strzykwi, małżoraczki, koprology i radiolarie.

Znacznie uboższe, choć podobne zespoły stwierdzono w płytach cienkich z okruchów wapieni skalistych występujących wśród margli.

W niektórych próbkach z interwału 6,1–16,8 m stwierdzono obecność otwornic późnej kredy, a wśród nich *Stenosioeina cf. exculta* (Reuss). Równoczesne występowanie form różnego wieku (późnej jury i późnej kredy) i różnych środowisk (małżoraczki, koprology i radiolarie) wskazuje na zjawisko resedymentacji utworów w obrębie omawianego interwału.

Głębokość 19,4–184,4 m.

Interwał ten mikrofacjalnie jest reprezentowany głównie przez pakstony mikrobialitowe, podrzędnie wakstony ze stosunkowo licznymi mikroskamieniałościami. Charakterystyczny zespół otwornic tworzą: *Protomarssonella jurassica* (Mityanina) (tabl. III, fig. 1), *Eomarssonella paraconica* Levina (tabl. IV, fig. 2), *Ammobaculites irregularis* (Gümbel), *Haghimashella arcuata* (Haeusler), *Paleogaudryina heersumensis* (Lutze) (tabl. III, fig. 5), *Ophthalmidium pseudocarinatum* (Dain), *Quinqueloculina tersa* Danitsch, *Neotrocholina conica* (Schlumberger) (tabl. II, fig. 9), *Paalzowella feifeli* (Paalzow) (tabl. III, fig. 2), *Rumanolina elevata* (Paalzow), *Bullopora tuberculata* Sollas (tabl. III, fig. 6). Zasięgi wiekowe najmłodszych form tego zespołu (*Ophthalmidium pseudocarinatum*, *Q. tersa*, tab. 3) sugerują dla zawierających go utworów wiek późnego oksfordu.

W zespole wapiennych dinocyst ważna jest obecność formy odniesionej do *Colomisphaera carpathica* (Borza) (tabl. V, fig. 5), której początek występowania znajduje się w późnym oksfordzie. Oprócz powszechnych mikroinkrusterów i fragmentów zoariów mszywiów w zespołach do

głębokości 35,0 m występują radiolarie, małżoraczki i prawdopodobnie fragmenty krynowidów pelagicznych z rodzaju *Saccocoma* (tabl. V, fig. 6). Te ostatnie w zespołach mikroskamieniałości jury w Polsce obserwowała autorka (Olszewska, 2005) już w zespołach późnego oksfordu.

Głębokość 184,4–227,1 m.

Obraz mikrofacjalny tego interwału jest podobny do utworów poprzedniego interwału. Przeważają pakstony mikrobialitowe o strukturze peloidowej. Natomiast zespoły otwornic są znacznie uboższe gatunkowo. W zespołach otwornic dość licznie występuje *Ophthalmidium strumosum* (Gümbel), któremu towarzyszą *Globuligerina oxfordiana* Grigelis, *Paalzowella turbinella* (Gümbel) (tabl. III, fig. 3), *Spirillina orbicula* (Terquem). W tym interwale notowano pierwsze okazy gatunków charakterystycznych dla zespołów późnego oksfordu: *Protomarssonella jurassica* (Mityanina) i *Ophthalmidium pseudocarinatum* Dain. Równocześnie są obecne gatunki charakterystyczne dla zespołów dolnego oksfordu, takie jak *Ophthalmidium bolgradensis* Ivan et Dain, *O. sagittum* (Bykova), *Sigmoilina fissiformis* Danitsch.

Interesujące jest również, że poza przedstawicielami rodzaju *Globigerina*, brak jest w omawianym interwale innych mikroskamieniałości planktonicznych (radiolarie, wapienne dinocysty, wapienne glony) obecnych w wyższej i niższej części badanych utworów. Licznie natomiast występują inne składniki ziarniste, wśród nich kolonie wieloszczetów (tabl. V, fig. 7).

Głębokość 227,1–233,4 m.

W pakstonach peloidowych tego interwału zabarwionych związkami Fe i zawierającymi glaukonit wystąpił bardzo charakterystyczny zespół wczesnego oksfordu. Znamienny był liczny udział elementów planktonicznych: otwornic, radiolarii, wapiennych cyst Dinoflagellata i wapiennych glonów. Zespół tworzyły otwornice: *Ophthalmidium bolgradensis* Ivan et Dain, *O. sagittum* (Bykova) (tabl. II, fig. 3), *Sigmoilina fissiformis* Danitsch (tabl. II, fig. 1, 2), *Cornuspira eichbergensis* (Kübler et Zwingli) (tabl. II, fig. 8), *Spirillina andreae* Bielecka (tabl. II, fig. 12), *S. polygyrata* Gümbel, *Globuligerina oxfordiana* Grigelis, *G. cf. bathoniana* (Pazdro) (tabl. III, fig. 8); wapienne dinocysty: *Colomisphaera fibrata* (Nagy) (tabl. V, fig. 2), *Comittosphaera czestochowiensis* Rehanek (tabl. V, fig. 1); zielenice *Globochaete alpina* Lombard i radiolarie.

Zbliżony, do wymienionego powyżej, składem gatunkowym zespół mikroskamieniałości stwierdzono w wapieniach piaskowatych na głębokości 233,5 m. W skład zespołu wchodziły otwornice: *Ophthalmidium strumosum* (Gümbel), *O. bolgradensis* Ivan et Dain (tabl. II, fig. 4, 5), *Nautiloculina oolithica* Mohler, *Spirillina andreae* Bielecka (tabl. II, fig. L), *S. polygyrata* Gümbel, *Cornuspira eichbergensis* (Kübler et Zwingli), *Globuligerina oxfordiana* Grigelis. Zespół wapiennych dinocyst tworzyły liczne *Colomisphaera fibrata* (Nagy) i *Comittosphaera czestochowiensis* Rehanek oraz pojedyncze okazy *Colomisphaera lapidosa* (Vogler) (tabl. V, fig. 3). Dość licznie występuje organizm *Globochaete alpina* Lombard, uważany obecnie za planktoniczną zielenicę.

Piaskowce allochemiczne (wapienie piaszczyste) z glaukonitem interwału 233,5–234,4 m zawierały ubogi zespół otwornic złożony z: *Verneuilinoides minimus* (Kosyreva) (tabl. IV, fig. 6), *Protomarssonella osowiensis* (Bielecka et Styk) (tabl. IV, fig. 1), *Spirillina cf. radiata* Terquem, *Trochammina* sp., *Ophthalmidium* sp. Zespół ten może wskazywać na późny kelowej. Obserwowano również przekroje belemnitów, serpul, fragmenty szkarłupni oraz tuberoidy.

Głębokość 234,3–235,5 m.

Gruboziarniste piaskowce tego interwału zawierały zespół otwornic podobny do poprzedniego złożony z *Dorothia insperata* (Bułynnikowa) (tabl. IV, fig. 3), *Verneuilinoides minimus* (Kosyreva), *Spirillina cf. radiata* Terquem (tabl. IV, fig. 8), *Nodobacularia cf. reicheli* Rat (tabl. IV, fig. 7), *Trochammina* sp. (tabl. IV, fig. 4), *Subbdelloidina* sp.

(tabl. IV, fig. 9). Otwornicom towarzyszą liczne szczątki makrofauny. Zespół prawdopodobnie reprezentuje kelowej.

Głębokość 240,3–244,3 m.

Zespół mikroszczątek z szarych piaskowców tego interwału tworzą niewielkie otwornice aglutynujące: *Verneuilinoides minimus* (Kosyreva) (tabl. IV, fig. 6), *Trochammina* sp., *Subbdelloidina* sp., *Ammobaculites* sp., którym towarzyszą fragmenty zoariów mszywiów, muszli ramienionogów oraz kolce jeżowców. Ubogi skład gatunkowy zespołu nie pozwala na uściślenie wieku.

Najniższa analizowana próbka pochodziła z głębokości 244,5 m z mułowców zawierających ciemną substancję organiczną. W próbce tej stwierdzono jedynie fragmenty jeżowców i liczne kortoidy z powłokami mikrytowymi.

UWAGI STRATYGRAFICZNE

Miocen

Utwory wieku mioceńskiego stwierdzono jedynie w otworze Trojanowice 2. Obszar, na którym zlokalizowano otwór Trojanowice 2 (Habryn i in., 2014), według podziału Alexandrowicza (1971) należy do tzw. strefy 5 nazwanej strefą brzeźną Kraków–Chmielnik–Tarnobrzeg. Jako najstarsze w profilu tej strefy (według cytowanego autora) występują ily z węglem, ily korytnickie oraz piaski heterosteginowe i wapienie organodetrytyczne–litotamniowe zaliczone do karpatu. Baden reprezentują warstwy baranowskie, osady chemiczne oraz warstwy pektenowe. Nadległe utwory sarmatu mają na północy strefy wykształcenie piaszczyste, a na południu – ilaste (ily krakowieckie). Wcześniej odmianę warstw baranowskich w okolicy Krakowa nazwano warstwami skawińskimi (Alexandrowicz, 1963b). Nowsze interpretacje litostratygraficzne (Jasionowski, 1997) odnoszą utwory tego rejonu („strefy brzeźnej” Alexandrowicza) do formacji z Trzydnika, formacji z Pińczowa, formacji z Krzyżanowic i formacji z Machowa (z ogniwami: ilów i margli pektenowych, ilów spiralisowych i ilów syndesmiowych).

Występowanie w interwale 2,0–52,0 m otwornicy *Velapermina indigena* Łuczkowska w towarzystwie radiolarii i pteropodów (*Spirialis* = *Limacina* sp.) wskazuje, że badane osady należą do ogniąca ilów spiralisowych formacji z Machowa, wieku późnego badenu (kosowu). Zespoły tego interwału kojarzą się z „zespołem III A” zachodniej części zapadliska (Alexandrowicz, 1963a) i poziomem z *Neobulimina longa* części centralnej (Łuczkowska, 1964).

Urozmaicone zespoły otwornic stwierdzone od głębokości 54,0 m do spagu miocenu (zawierające między innymi gatunki planktoniczne: *Praeorbulina glomerosa* (Blow), *Globorotalia scitula* Brady, *Globocoenella bykovae* (Aisenstadt), *Dentoglobigerina baroemoenensis* (Bermudez), *Globigerinoides trilobus* (Reuss), *Globigerina bulloides* d'Orbigny) mają zdecydowany charakter wczesnobadeński (mo-

raw) i są typowe dla warstw skawińskich. Odpowiadają one składem gatunkowym zespołom II A i II B z zachodniej części zapadliska (Alexandrowicz, 1963a) i poziomowi z *Candorbolina universa* części centralnej (Łuczkowska, 1964)

Kreda górna

Rozpoznane dotychczas utwory kredy górnej okolic Krakowa reprezentują wiek cenoman–kampan. Cenoman jest wykształcony jako zlepieńce margliste, utwory turonu to wapienie piaszczyste z krzemieniami i wapienie organodetrytyczne, santon jest reprezentowany przez margliste ily z glaukonitem, kampan – przez marge wapienie margliste i wapienie z krzemieniami (Alexandrowicz, 1954; 1969; Kudrewicz, Olszewska-Najbert, 1997). Utwory te zawierają zróżnicowane zespoły mikro- (otwornice) i makroskamieniałości pozwalające na precyzyjne określenie wieku (Zapałowicz-Bilan, 2003; Zapałowicz-Bilan i in., 2004; Machaniec, Zapałowicz-Bilan, 2005).

W profilach obydwu otworów wiertniczych w badanych utworach formy kredy górnej były domieszczone do zespołów miocenu lub późnej jury. Zły stan zachowania okazów (ośrodków) nie pozwolił na precyzyjne określenie gatunkowe większości form. Pewną przesłanką do określenia wieku erodowanych utworów kredy górnej była obecność form zbliżonych do *Stensioeina exculpta* (Reuss). Gatunek ten jest znany na Niżu Polskim od koniaku (Gawor-Biedowa i in., 1984) co wskazywałoby, że transgresja badeńska wkroczyła na utwory młodsze od turonu.

Jura (środkowa i górnna)

W południowej części Wyżyny Krakowsko-Częstochowskiej utwory jury środkowej są rozwinięte w facji lądowej (starsze) i morskiej (młodsze) (Golonka, 1972; Jurkiewiczowa, 1974; Garlicka, 1981). Strop utworów jury środkowej

znajduje się w obrębie tzw. warstwy bulastej z licznymi fragmentami makrofauny i glaukonitem (Kopik, 1979). Górną powierzchnią warstwy bulastej jest często przykryta cienką warstwą stromatolitu.

Wiek serii lądowej na przedgórzu Karpat, na podstawie szczątków roślinnych (megaspory, pyłki, liście) określono na jurę środkową z górną granicą w batonie środkowym (Garlicka, 1981). Serię morską zaliczono do batonu górnego–kelowej na podstawie amonitów i mięczaków (Różyci-ki, 1953; Golonka, 1972; Jurkiewiczowa, 1974).

Utwory jury górnej na obszarze Wyżyny Krakowsko-Częstochowskiej obejmują formację wapieni gąbkowych częstochowskich, formację pilecką oraz formację z Prusicka wiekowo reprezentujące interwał oksford–dolny kimeryd (Matyja, Wierzbowski, 2004).

Jura górska

Badane w omawianych otworach utwory jury górnej należą do formacji wapieni gąbkowych częstochowskich. Stwierdzone w nich mikroskamieniałości tworzą kilka zróżnicowanych gatunkowo i odrebnego wieku zespołów charakterystycznych dla utworów oksfordu południowej Polski. Dotyczy to zarówno zespołów uzyskanych z materiału poddanego maceracji wodnej (Smoleń, 1998), jak i obserwowanych w płytach cienkich (Olszewska, 2004, 2005, 2007).

Najmłodszy z zespołów, którego charakterystycznymi składnikami są *Protomarssonella jurassica* (Mityanina), *Eomarssonella paraconica* Levina, *Ophthalmidium pseudocarinatum* (Dain), *Quinqueloculina tersa* Danitsch, *Paalzowella seifeli* (Paalzow), *Colomisphaera lapidosa* (Vogler) i *C. carpathica* (Borza), wskazuje na wiek późnego oksfordu (zespół C, Olszewska 2004, 2007). W zespole tym są obecne również fragmenty szkieletów, które mogą reprezentować pelagiczne liliowce z rodzaju *Saccocoma*.

Poniżej tego zespołu obserwuje się zubożenie ilościowe i gatunkowe mikroszczątków. W zespołach współwystępują gatunki otwornic typowe dla późnego (*Protomarssonella jurassica*, *Ophthalmidium pseudocarinatum*) i wczesnego oksfordu (*O. bolgradensis*, *O. sagittum*). Charakterystyczne jest także znaczące zmniejszenie się udziału lub brak elementów planktonicznych (otwornic planktonicznych, radiolarii, planktonicznych glonów, wapiennych cyst dinoflagellata) obecnych powyżej i poniżej tego zespołu. Zespół skamieniałości tego interwału odpowiada częściowo tzw. zespołowi B (Olszewska, 2007), reprezentującemu część wcześniego oksfordu i oksford środkowy.

Najstarszy z uzyskanych zespołów mikroskamieniałości jury górnej, (charakterystyczny pod względem składu gatunkowego) reprezentuje wczesny oksford. Zespół ten tworzą otwornice: *Ophthalmidium bolgradensis* Ivan et Dain, *O. sagittum* (Bykova), *O. strulosum* (Gümbel), *Sigmoilina fissiformis* Danitsch, *Cornuspira eichbergensis* (Kübler et Zwintgli), *Spirillina polygyrata* Gümbel, *S. andreae* Bielecka, *Globuligerina oxfordiana* Grigelis (dość liczna). Licznie są reprezentowane wapienne cysty dinoflagellata *Colomisphaera fibrata* (Nagy), oraz *Comittosphaera czestochowiensis* Řehánek. Gatunek *Colomisphaera fibrata* (Nagy) w utworach jury południowej Polski pojawia się w obrębie warstwy bulastej w poziomie Lamberti (najwyższy kelowej). Jest on bardzo liczny w poziomie Cordatum stopniowo zanikając w poziomie Plicatilis gdzie występuje pojedynczo (Garlicka, 1974, 1976; Garlicka, Tarkowski, 1980; Řehánek, Heliasz, 1993, również obserwacje autorki). Zbliżony zasięg ma *Comittosphaera czestochowiensis* Řehánek. Do innych charakterystycznych elementów planktonicznych tego zespołu należą zielenice *Globochaete alpina* Lombard oraz radiolarie. Opisany powyżej zespół mikroskamieniałości odpowiada zespołowi A południowej Polski (Olszewska, 2004), którego występowanie datowano wcześniej na najwyższy kelowej. Późniejsze badania wykazały jego obecność również w oksfordzie dolnym południowej Polski (Olszewska, 2007).

Jura środkowa

Wapienie krynowidowe podścielające utwory oksfordu dolnego w otworze wierniczym Trojanowice 2 zawierają zespół otwornic znanych głównie z kelowej takich jak *Verneuilinoides minimus* (Kosyreva), *Protomarssonella osowiensis* Bielecka et Styk, *Dorothia insperata* Bułynnikowa (tabl. IV). Charakterystyczne jest również pojawienie się przedstawicieli otwornic krzemionkowych z rodzajów *Ammobaculites* i *Trochammina*.

Niżej leżące allochemiczne piaskowce obecne w obydwu otworach wierniczych zawierają podobny do powyższego zespół otwornic oraz liczne szczątki makrofauny (belemnity, serpule, fragmenty szkarłupni, liliowców, małży i mszywiów). W otworze Trojanowice 2, w tych piaskowcach, na głębokości 294,7 m w zespole otwornic stwierdzono charakterystyczny dla facji węglanowych jury środkowej gatunek *Bosniella croatica* (Gušić).

Ślady morskich organizmów (jeżowce) znalezione w najniżej pobranej z analizowanych próbek z szarych mułowców w otworze Cianowice 2 na głębokości 244,5 m.

WNIOSKI

1. Analiza profili stratygraficznych otworów Trojanowice 2 i Cianowice 2 wskazuje na lokalnie intensywną erozję utworów miocenu i kredy górnej. Jedynie w otworze Trojanowice 2 są zachowane utwory miocenu środkowego (ogniwko ilów spirialisowych formacji z Machowa i warstwy ska-

wińskie) oraz cienka warstwa utworów wyższej części kredy górnej.

2. Nawiercone w obydwu otworach utwory jury górnej reprezentują formację wapieni gąbkowych częstochowskich i zawierają trzy zróżnicowane pod względem składu gatun-

kowego zespoły mikroskamieniałości wieku późnego (zespół C), śródkowego/ wczesnego (zespół B) i wczesnego oksfordu (zespół A).

3. Klastyczne utwory najwyższej części jury śródkowej zawierają zespół otwornic aglutynujących kelowej.

Podziękowania. Autorka składa podziękowania mgr. R. Habrynowi (PIG-PIB OS) za umożliwienie pobrania ma-

teriału do badań, prof. dr. hab. B.A. Matyi i dr. P. Ziółkowskiemu (Uniwersytet Warszawski) za możliwość skorzystania z dodatkowych płytEK cienkich oraz za informacje dotyczące stratygrafii amonitowej w obydwu otworach. Ponadto autorka dziękuje mgr. M. Borowcowi (PIG-PIB OK), bez którego pomocy nie powstałyby część ilustracyjna.

LITERATURA

- ALEXANDROWICZ S.W., 1954 — Turon południowej części Wyżyny Krakowskiej. *Acta Geol. Pol.*, **4**: 361–390.
- ALEXANDROWICZ S.W., 1956 — Zespoły globotrunkan w turonie okolic Krakowa. *Acta Geol. Pol.*, **1**: 1–61.
- ALEXANDROWICZ S.W., 1960 — Budowa geologiczna okolic Tynca. *Biul. Inst. Geol.*, **152**: 5–93.
- ALEXANDROWICZ S.W., 1963a — Stratygrafia osadów mioceńskich w Zagłębiu Górnoułańskim. *Prace Inst. Geol.*, **39**: 1–126.
- ALEXANDROWICZ S.W., 1963b — Zarys stratygrafii miocenu okolic Krakowa. *Sprawozdanie z Posiedzeń Komisji PAN, Oddział w Krakowie, lipiec–grudzień 1962*: 520–523.
- ALEXANDROWICZ S.W., 1969 — Transgresywne utwory santońskie w okolicach Krakowa. *Zesz. Nauk. AGH, Geologia*, **11**: 45–57.
- ALEXANDROWICZ S.W., 1971 — Regional stratigraphy of the Miocene in the Polish part of the Fore-Carpathian trough. *Acta Geol. Academiae Scientiarum Hungaricae*, **15**: 49–61.
- BASSOULET J.-P., 1994 — *Bosniella fontainei* nov. sp. (Foraminifère, Biokinidae) du Jurassique Moyen de Thaïlande. *Geobios*, **27**: 403–411.
- BOGACZ K., 1967 — Budowa geologiczna północnego obrzeżenia rowu krzeszowickiego. *Pr. Geol. Kom. Nauk Geol. PAN*, **45**: 1–89.
- BUKOWY S., 1960 — Uwagi o sedymentacji i diagenezie albu okolic Krakowa. *Biul. Inst. Geol.*, **152**: 243–267.
- BUKOWY S., 1962 — Profil jury i kredy w Raciborowicach koło Krakowa. *Rocznik PTG*, **32**: 197–208.
- DŽUŁYŃSKI S., 1952 — Powstanie wapieni skalistych jury krakowskiej. *Rocznik PTG*, **21**: 125–180.
- DŽUŁYŃSKI S., 1953 — Tektonika południowej części Wyżyny Krakowskiej. *Acta Geol. Pol.*, **3**: 325–440.
- FELISIAK I., 1992 — Osady krasowe oligocenu i wczesnego miocenu oraz ich znaczenie dla poznania rozwoju tektoniki i rzeźby okolic Krakowa. *Ann. Soc. Geol. Pol.*, **62**: 173–200.
- GARLICKA I., 1974 — Horizon with stomiosphaerids in the Upper Jurassic of the Carpathian Foreland (Southern Poland). *Rocznik PTG*, **44**: 37–46.
- GARLICKA I., 1976 — Zagadnienie pozycji dolnej granicy pozamu z *Colomisphaera fibrata* (Nagy) w profilu jury w Zalasie (region krakowski). *Biul. Inst. Geol.*, **295**: 273–280.
- GARLICKA I., 1981 — Rozwój biofacji utwórów jury na przedgórzu Karpat: 1–30. Narod. Arch. Geol. PIG-PIB, filia w Krakowie.
- GARLICKA I., TARKOWSKI R., 1980 — Biostratigraphy and microfacies development of the Lower and Middle Oxfordian at Zalas near Cracow. *Bull. de l'Acad. Pol. des Sci. Série des Sci. de la Terre*, **28**: 59–67.
- GAWOR-BIEDOWA E., WITWICKA E., LISZKOWA J., MORGIEL J., SZYMAKOWSKA F., 1984 — Gomada Reticularaea Lankester, 1885. Rząd Foraminiferida Eichwald, 1830. W: Budowa geologiczna Polski. T. III, Atlas skamieniałości przewodniczych i charakterystycznych (red. L. Malinowska). Cz. **2c**, Mezozoik, Kreda: 187–308. Wyd. Geol., Warszawa.
- GRADZIŃSKI R., 1957 — Uwagi o sedymentacji miocenu w okolicy Proszowic. *Rocznik PTG*, **26**: 3–23.
- GOLONKA J., 1972 — Osady doggeru w południowo-zachodniej części niecki nidziańskiej. *Zesz. Nauk. AGH, Geologia*, **16**: 65–83.
- HABRYN R., BUŁA Z., NAWROCKI J., 2014 — Strefa tektoniczna Kraków–Lubliniec na odcinku krakowskim w świetle danych uzyskanych z nowych otworów badawczych Trojanowice 2 i Cianowice 2. *Biul. Państw. Inst. Geol.*, **459**: 45–60.
- HILTERMAN H., 1963 — Zur entwicklung der benthos foraminifere Bolivinoides evolutionary trends in foraminifera. Elsevier: 198–222.
- JASIONOWSKI M., 1997 — Zarys litostratygrafia osadów mioceńskich wschodniej części zapadliska przedkarpackiego. *Biul. Państw. Inst. Geol.*, **375**: 43–56.
- JURKIEWICZOWA I., 1974 — Rozwój jury śródkowej we wschodniej części obszaru krakowskiego. *Biul. Inst. Geol.*, **278**: 201–226.
- KIRCHNER Z., 1956 — Stratygrafia miocenu Przedgórza Karpat Środkowych na podstawie mikrofauny. *Acta Geol. Pol.*, **6**: 421–447.
- KOPIK J., 1979 — Callovian of the Częstochowa Jura (South-western Poland). *Pr. Inst. Geol.*, **93**: 1–52.
- KRAJEWSKI M., 2000 — Lithology and morphology of Upper Jurassic Carbonate buildups in the Będkowska Valley, Kraków region Southern Poland. *Ann. Soc. Geolo. Pol.*, **70**: 151–163.
- KRAJEWSKI M., MATYSZKIEWICZ J., 2004 — Rozwój i architektura facjalna górnoukrajiskich kompleksów budowli węglowych w SW części Wyżyny Krakowskiej. W: Zróżnicowanie i przemiany środowiska przyrodniczo-kulturowego Wyżyny Krakowsko-Częstochowskiej (red. J. Partyka). T. I. Przyroda: 27–34.
- KUDREWICZ R., OLSZEWSKA-NAJBERT D., 1997 — Upper Cretaceous „Echinoidlagerstadtten” in the Kraków area. *Ann. Soc. Geol. Pol.*, **67**: 1–12.
- LISZKA S., 1955 — Otwornice niższego senonu okolic Krakowa. *Rocznik PTG*, **23**: 165–186.
- ŁUCZKOWSKA E., 1964 — Stratygrafia mikropaleontologiczna miocenu w rejonie Tarnobrzeg-Chmielnik. *Pr. Geol. PAN*, **20**: 1–52.
- MACHANIEC E., ZAPAŁOWICZ-BILAN B., 2005 — Foraminiferal biostratigraphy and paleobathymetry of Senonian marls (Upper Cretaceous) in the vicinity of Kraków (Januszowice-Korzkiew area, Bonarka quarry). *Studia Geol. Pol.*, **124**: 285–296.
- MAŁECKI J., 1952 — Mszywoły piasków heterosteginowych na obszarze krakowsko-miechowskim. *Rocznik PTG*, **21**: 181–220.

- MAŁECKI J., 1995 — Die Kalkschwämme aus dem Weissen Jura von Zalas bei Kraków. *Bull. Pol. Acad. of Sci., Earth Sci.*, **43**: 173–184.
- MARCINOWSKI R., 1974 — The transgressive Cretaceous (Upper Albian through Turonian) deposits of the Polish Jura Chain. *Acta Geol. Pol.*, **24**: 117–206.
- MATYJA B.A., WIERZBOWSKI A., 2004 — Stratigrafia i zróżnicowanie facjalne utworów górnej jury Wyżyny Krakowsko-Częstochowskiej i Wyżyny Wieluńskiej. W: Zróżnicowanie i przemiany środowiska przyrodniczo-kulturowego Wyżyny Krakowsko-Częstochowskiej (red. J. Partyka): 13–17. T. I. Przyroda.
- MATYSZKIEWICZ J., 1989 — Sedimentation and diagenesis of the Upper Oxfordian cyanobacterial-sponge limestones in Piekarz near Kraków. *Ann. Soc. Geol. Pol.*, **59**: 201–232.
- MATYSZKIEWICZ J., 1997 — Microfacies, sedimentation and some aspects of diagenesis of Upper Jurassic sediments from the elevated part of the Northern peri-Tethyan Shelf: a comparative study on the Lochen area (Schwäbische Alb) and the Cracow area (Cracow–Wieluń Upland, Polen). *Berliner Geowissenschaftliche Abhandlungen*, E **21**: 1–66.
- MATYSZKIEWICZ J., GADOMSKA A., PORĘBSKA E., 2001 — Górnoukrajskie budowle weglane w rejonie Ogrodzieńca. *Geologia*, **27**: 219–236.
- MATYSZKIEWICZ J., KRAJEWSKI M., ŽABA J., 2006 — Structural control on the distribution of Upper Jurassic carbonate buildups in the Kraków–Wieluń Upland (south Poland). *Neues Jahrbuch für Geologie und Paläontologie, Monatshefte* **3**: 182–192.
- OLSZEWSKA B., 2004 — Próba korelacji wydzielień lithostratigraficznych górnej jury w podłożu Karpat zewnętrznych i zapadlisk na podstawie mikroskamieniałości. *Tomy Jurajskie*, **2**: 165.
- OLSZEWSKA B., 2005 — Charakterystyka mikropaleontologiczna budowli biohermalnych Polski południowej. *Nafta-Gaz*, **7/8**: 299–307.
- OLSZEWSKA B., 2007 — An attempt at correlation of thin section foraminiferal assemblages from the Upper Jurassic-Lower Cretaceous sediments of SE Poland with orthostratigraphic zonations. W: 6th Polish Micropaleontological Workshop “Mikro 2007” (red. J. Krzymińska): 52–53. Gdańsk 18–20 June. Abstracts. Państw. Inst. Geol., Warszawa.
- PELISSIÉ T., PEYBERNÉS B., 1982 — Étude micropaléontologique du Jurassique Moyen/Supérieur du Causse de Limogne (Quercy). *Revue de Micropaléontologie*, **25**: 111–132.
- RADWAŃSKA A., 1968 — Transgresja dolnego tortonu na obszarze Wyżyny Miechowskiej i Krakowskiej. *Acta Geol. Pol.*, **18**: 387–438.
- ŘEHÁNEK J., HELIASZ Z., 1993 — Microfacies and microbiostigraphy of the Oxfordian–Lower Kimmeridgian on the basis of cadosinids and stomiosphaerids in the Częstochowa region of Poland. *Geol. Carpath.*, **44**: 81–93.
- RÓŻYCKI S.Z., 1953 — Górný dogger i dolny malm Jury Krakowsko-Częstochowskiej. *Prace Inst. Geol.*, **17**.
- RUTKOWSKI J., 1989 — Budowa geologiczna regionu Krakowa. *Prz. Geol.*, **6**: 302–308.
- SMOLEŃ J., 1998 — Mikrofauna oksfordu w północno-wschodnim obrzeżu Górnosądeckiego Zagłębia Węglowego. *Biul. Państw. Inst. Geol.*, **378**: 207–218.
- TARKOWSKI R., LISZKA S., 1982 — Otwornice i wiek piasków kredowych z Korzkwi koło Krakowa. *Ann. Soc. Geol. Pol.*, **52**: 231–238.
- TRAMMER J., 1989 — Middle to Upper Oxfordian sponges of the Polish Jura. *Acta Geol. Pol.*, **39**: 49–91.
- VELIĆ I., 2007 — Stratigraphy and palaeobiogeography of Mesozoic benthic foraminifera of the Karst Dinarides (SE Europe). *Geologia Croatica*, **60**: 1–113.
- WIECZOREK J., DUMONT T., BOUILLIN J.P., OLSZEWSKA B., 1995 — Dajki neptuniczne w Rezerwacie Przyrody Nieożywionej w Krakowie – świadectwo późnokredowych ruchów tektonicznych na Wyżynie Krakowskiej. *Prz. Geol.*, **8**: 690–692.
- WIŚNIOWSKI T., 1900 — Szkic geologiczny Krakowa i jego okolic. *Kosmos*, **25**: 199–262.
- ZAPAŁOWICZ-BILAN B., 2003 — Mikrofauna kredy górnej z odsłonięcia w Gołczy. IV Ogólnopolskie Warsztaty Mikropaleontologiczne. Mikro 2003. Kazimierz Dolny 28–30.05.2003: 55–57.
- ZAPAŁOWICZ-BILAN B., MACHANIEC E., KĘDZIOR A., 2004 — Zespoły otwornic w profilu górnej kredy okolic Krakowa. W: XIX Konferencja Naukowa Paleontologów i Biostratygrafów pt. „Zapis paleontologiczny jako wskaźnik paleośrodowisk” (red. J. Muszer): 96–98. 16–18 września 2004, Wrocław.
- ZARĘCZNY S., 1894 — O średnich warstwach kredowych w krakowskim okręgu. *Sprawozdanie Komisji Fizjograficznej Akademii Umiejętności w Krakowie*, **12**: 176–246.
- ZIÓŁKOWSKI P., 2007 — Stratigrafia i zróżnicowanie facjalne górnej jury wschodniej części Wyżyny Krakowskiej. *Tomy Jurajskie*, **4**: 25–35.

SUMMARY

Micropaleontological investigations of sediments encountered in two wells of Trojanowice 2 and Cianowice 2 drilled in the south-east part of the Kraków–Częstochowa Upland have yielded information important for stratigraphical interpretation of the area.

Miocene. The Miocene sediments from a depth of 2.0–52.0 m represent the Late Badenian (Kosovian) “Iły sprialisowe” Member of the Machów Formation. Age designation is based on the presence of foraminifers *Velapertina indigena* Łuczkowska and supported by occurrence of pteropods (*Limacina*, *Spiratella*) and radiolarians. The assemblage correlates well with Assemblage IIIa (Alexandrowicz,

1963) and a zone with *Neobulimina longa* (Łuczkowska, 1964).

The interval of 54.0–67.0 m represents the Early Badenian (Moravian) Skawina Beds. Abundant foraminiferal assemblages (Plate I) are composed mainly of lagenids and uvigerinids with characteristic planktic species of *Praeorbulina glomerosa* (Blow), *Globoconella bykovae* (Aisenstadt), *Dentoglobigerina baroemoenensis* (Bermudez), *Globigerinoides trilobus* (Reuss) and *Globigerina bulloides* d’Orbigny. The assemblage corresponds to Assemblage II A and II B (Alexandrowicz, 1963) and to a zone with *Candorbulina universa* (Łuczkowska, 1964).

Upper Cretaceous. The Upper Cretaceous sediments were encountered only in the Trojanowice 2 borehole. Usually, the poorly preserved Upper Cretaceous foraminifers were mixed into the Miocene (Trojanowice 2) or Upper Jurassic (Cianowice 2) assemblages. The occurrence of *Stensioeina* cf. *exculpta* (Reuss) suggests younger than Turonian age of eroded sediments.

Upper Jurassic. The examined Upper Jurassic sediments belong to the peri-Tethyan sponge megafacies (Częstochowa sponge limestone) (Matyja, Wierzbowski, 2004). Microfossils of the investigated strata form several distinct assemblages (Plates II–V). The youngest (Late Oxfordian) assemblage is composed of *Protomarssonella jurassica* (Mityanina), *Eomarssonella paraconica* Levina, *Ophthalmidium pseudocarinatum* Dain, *Qinqueloculina tersa* Danitsch, *Paalzowella feifeli* (Paalzow), *Colomisphaera lapidosa* (Vogler) and *Colomisphaera carpatica* (Borza). Fragments of skeletons referable to planktic crinoids of genus *Saccocoma* have also been observed (Tabs. 1, 2). The assemblage corresponds well to Assemblage C, similar in specific composition (Olszewska, 2004, 2007).

A transitional (?Middle Oxfordian) assemblage characterises the specific and quantitative impoverishment of microfossils. The assemblage contains both Upper and Lower Oxfordian foraminifera: *Protomarssonella jurassica* (Mityanina), *Ophthalmidium pseudocarinatus* Dain, *O. bolgradensis* Ivan et Dain and *O. sagittum* (Bykova) as well as species with longer stratigraphic ranges: *Reophax helveticus* Haeusler and *Ammo-*

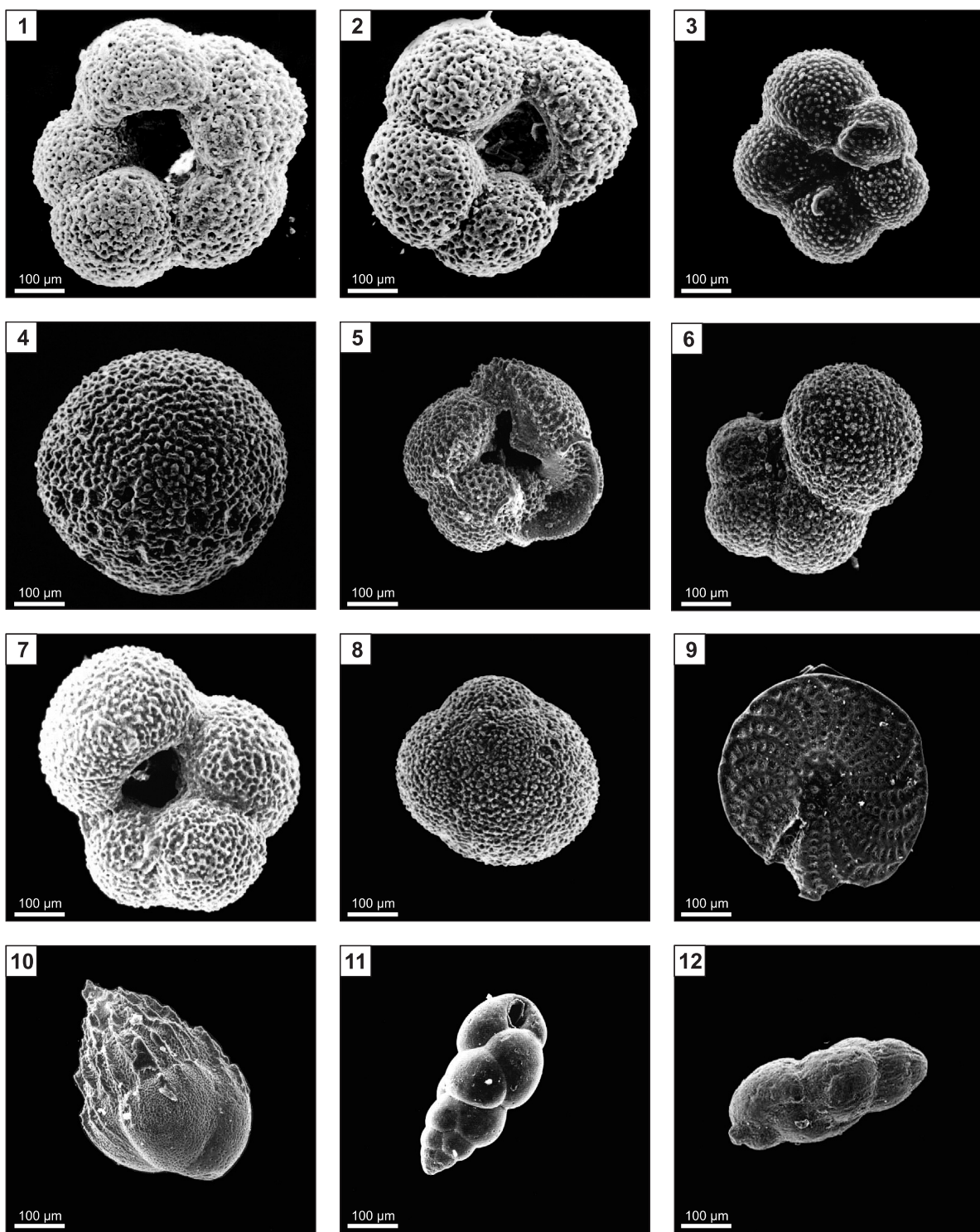
baculites irregularis (Gümbel). The assemblage partly corresponds to Assemblage B which encloses the upper part of the Early and Middle Oxfordian (Olszewska, 2004, 2007).

The oldest (Early Oxfordian-latest Callovian) microfossil assemblage is composed of numerous *Globuligerina oxfordiana* Grigelis, *Colomisphaera fibrata* (Nagy) and *Comitospaera czestochowiensis* Řehánek. Other characteristic components are represented by foraminifera: *Ophthalmidium bolgradensis* Ivan et Dain, *O. sagittum* (Bykova), *O. strumosum* (Gümbel), *Sigmoilina fusiiformis* Danitsch, *Cornuspira eichbergensis* (Kübler et Zwingli), *Spirillina polygyrata* Gümbel and *Spirillina andreae* Bielecka, planktic chlorophycean algae of *Globochaete alpina* Lombard, and radiolarians (Tabs. 1, 2).

Middle Jurassic. The investigated Midle Jurassic sediments are developed as allochemic medium- and coarse-grained sandstones and crinoidal limestones. Both sediment types yielded similar assemblages composed of rare foraminifera and numerous fragments of belemnites, worms, echinoderms, bivalves and bryozoans. The foraminiferal assemblage enclosed predominantly agglutinated *Verneuilinoides minimus* (Kosyreva), *Protomarssonella osowiensis* Bielecka et Styk, *Dorothia insperata* Bylynnikova, *Trochammina* sp., *Ammobaculites* sp. and *Subbdelloidina* sp. A typical carbonate platform species of *Bosniella croatica* (Gušić) has been identified in the Trojanowice 2 borehole. The stratigraphic ranges of foraminifera (Tab. 3) suggests the Late Callovian age of the discussed assemblage.

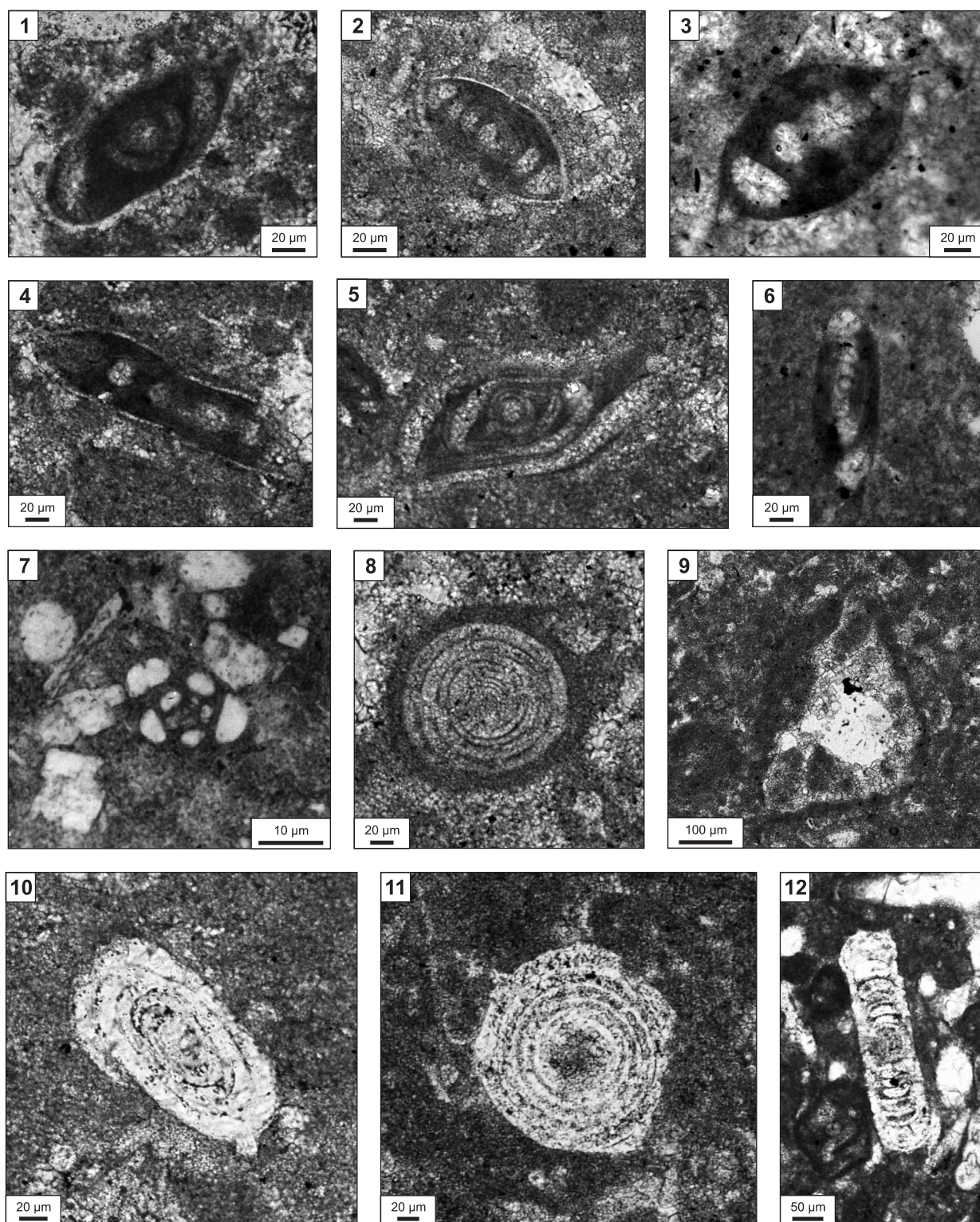
TABLICA I

- Fig. 1. *Globigerina concinna* (Reuss), strona pępkowa; otwór wiertniczy Trojanowice 2, głęb. 16,5 m, formacja z Machowa, późny baden
Globigerina concinna (Reuss), ventral side; Trojanowice 2 borehole, depth 16.5 m, Machów Formation, Late Badenian
- Fig. 2. *Globoturborotalita druryi* (Akers), strona pępkowa; otwór wiertniczy Trojanowice 2, głęb. 12,0 m, formacja z Machowa, późny baden
Globoturborotalita druryi (Akers), ventral side; Trojanowice 2 borehole, depth 12.0 m, Machów Formation, Late Badenian
- Fig. 3. *Turborotalita quiqueloba* (Natland), strona pępkowa; otwór wiertniczy Trojanowice 2, głęb. 14,0 m, formacja z Machowa, późny baden
Turborotalita quiqueloba (Natland), ventral side; Trojanowice 2 borehole, depth 14.0 m, Machów Formation, Late Badenian
- Fig. 4. *Praeorbulina glomerosa* (Blow), widok z boku; otwór wiertniczy Trojanowice 2, głęb. 58,0 m, warstwy skawińskie, baden wcześniejszy
Praeorbulina glomerosa (Blow), side view; Trojanowice 2 borehole, depth 58.0 m, Skawina Beds, Early Badenian
- Fig. 5. *Dentoglobigerina baroemoenensis* (Bermudez), strona pępkowa; otwór wiertniczy Trojanowice 2, głęb. 64,0 m, warstwy skawińskie, wcześniejszy baden
Dentoglobigerina baroemoenensis (Bermudez), ventral side; Trojanowice 2 borehole, depth 64.0 m, Skawina Beds, Early Badenian
- Fig. 6. *Globigerinella regularis* (d'Orbigny), strona pępkowa; otwór wiertniczy Trojanowice 2, głęb. 12,0 m, formacja z Machowa, późny baden
Globigerinella regularis (d'Orbigny), ventral side; Trojanowice 2 borehole, depth 12.0 m, Machów Formation, Late Badenian
- Fig. 7. *Globigerina bulloides* d'Orbigny, strona pępkowa; otwór wiertniczy Trojanowice 2, głęb. 30,0 m, formacja z Machowa, późny baden
Globigerina bulloides d'Orbigny, ventral side; Trojanowice 2 borehole, depth 30.0 m, Machów Formation, Late Badenian
- Fig. 8. *Velapertina indigena* (Łuczkowska), strona zwojowa; otwór wiertniczy Trojanowice 2, głęb. 30,0 m, formacja z Machowa, późny baden
Velapertina indigena (Łuczkowska), dorsal side; Trojanowice 2 borehole, depth 30.0 m, Machów Formation, Late Badenian
- Fig. 9. *Elphidium crispum* (Linne), widok z boku; otwór wiertniczy Trojanowice 2, głęb. 64,0 m, warstwy skawińskie, wcześniejszy baden
Elphidium crispum (Linne), side view; Trojanowice 2 borehole, depth 64.0 m, Skawina Beds, Early Badenian
- Fig. 10. *Bulimina striata* d'Orbigny, widok z boku; otwór wiertniczy Trojanowice 2, głęb. 64,0 m, warstwy skawińskie, wcześniejszy baden
Bulimina striata d'Orbigny, side view; Trojanowice 2 borehole, depth 64.0 m, Skawina Beds, Early Badenian
- Fig. 11. *Bulimina elongata* d'Orbigny, widok od strony ujściowej; otwór wiertniczy Trojanowice 2, głęb. 64,0 m, warstwy skawińskie, wcześniejszy baden
Bulimina elongata d'Orbigny, view of apertural side; Trojanowice 2 borehole, depth 64.0 m, Skawina Beds, Early Badenian
- Fig. 12. *Uvigerina semiornata* (d'Orbigny), widok z boku; otwór wiertniczy Trojanowice 2, głęb. 30,0 m, formacja z Machowa, późny baden
Uvigerina semiornata (d'Orbigny), side view; Trojanowice 2 borehole, depth 30.0 m, Machów Formation, Late Badenian



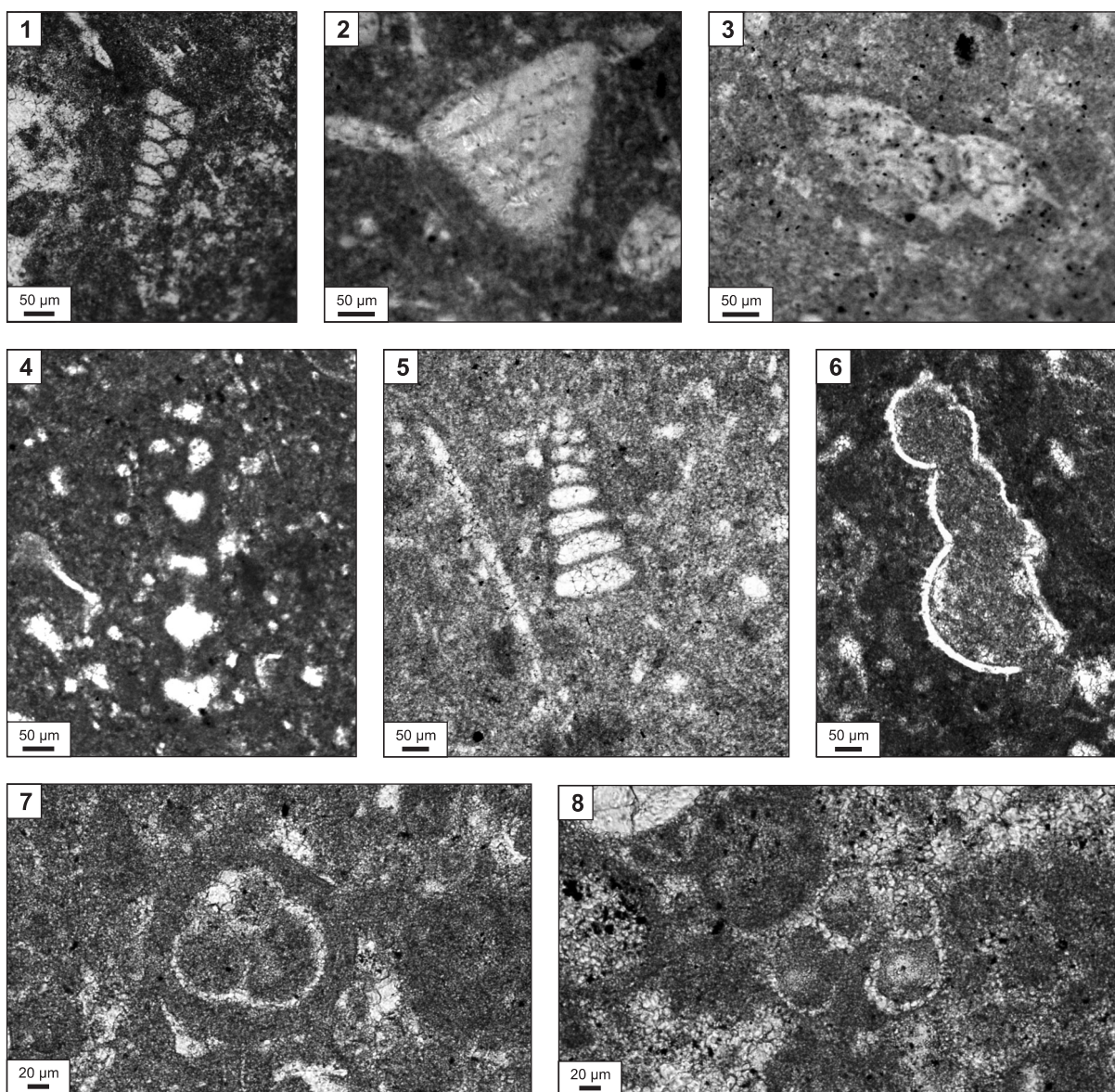
TABLICA II

- Fig. 1. *Sigmoilina fusiiformis* Danitsch, przekrój podłużny; otwór wiertniczy Cianowice 2, głęb. 231,9 m, wczesny oksford
Sigmoilina fusiiformis Danitsch, longitudinal section; Cianowice 2 borehole, depth 231.9 m, Early Oxfordian
- Fig. 2. *Sigmoilina fusiiformis* Danitsch, przekrój poprzeczny; otwór wiertniczy Cianowice 2, głęb. 231,9 m, wczesny oksford
Sigmoilina fusiiformis Danitsch, transversal section; Cianowice 2 borehole, depth 231.9 m, Early Oxfordian
- Fig. 3. *Ophthalmidium sagittum* (Bykova), przekrój poprzeczny; otwór wiertniczy Cianowice 2, głęb. 233,4 m, wczesny oksford
Ophthalmidium sagittum (Bykova), transversal section; Cianowice 2 borehole, depth 233.4 m, Early Oxfordian
- Fig. 4. *Ophthalmidium bolgradensis* Ivan et Dain, przekrój poprzeczny; otwór wiertniczy Cianowice 2, głęb. 233,5 m, najniższy oksford
Ophthalmidium bolgradensis Ivan et Dain, transversal section; Cianowice 2 borehole, depth 233.5 m, earliest Oxfordian
- Fig. 5. *Ophthalmidium bolgradensis* Ivan et Dain, przekrój podłużny; otwór wiertniczy Cianowice 2, głęb. 233,5 m, najniższy oksford
Ophthalmidium bolgradensis Ivan et Dain, longitudinal section; Cianowice 2 borehole, depth 233.5 m, earliest Oxfordian
- Fig. 6. *Ophthalmidium pseudocarinatum* Dain, przekrój poprzeczny; otwór wiertniczy Trojanowice 2, głęb. 101,0 m, późny oksford
Ophthalmidium pseudocarinatum Dain, transversal section; Trojanowice 2 borehole, depth 101.0 m, Late Oxfordian
- Fig. 7. *Quinqueloculina tersa* Dain, przekrój poprzeczny; otwór wiertniczy Trojanowice 2, głęb. 104,0 m, późny oksford
Quinqueloculina tersa Dain, transversal section; Trojanowice 2 borehole, depth 104.0 m, Late Oxfordian
- Fig. 8. *Cornuspira eichbergensis* Kübler et Zwingli, przekrój równikowy; otwór wiertniczy Cianowice 2, głęb. 232,7 m, wczesny oksford
Cornuspira eichbergensis Kübler et Zwingli, equatorial section; Cianowice 2 borehole, depth 232.7 m, Early Oxfordian
- Fig. 9. *Neotrocholina conica* (Schlumberger), przekrój osiowy; otwór wiertniczy Cianowice 2, głęb. 184,4 m, późny oksford
Neotrocholina conica (Schlumberger), axial section; Cianowice 2 borehole, depth 184.4 m, Late Oxfordian
- Fig. 10. *Spirillina elongata* Bielecka et Pożaryski, przekrój równikowy; otwór wiertniczy Trojanowice 2, głęb. 159,7 m, późny oksford
Spirillina elongata Bielecka et Pożaryski, equatorial section; Trojanowice 2 borehole, depth 159.7 m, Late Oxfordian
- Fig. 11. *Spirillina tenuissima* Gümbel, przekrój równikowy; otwór wiertniczy Trojanowice 2, głęb. 99,0 m, późny oksford
Spirillina tenuissima Gümbel, equatorial section; Trojanowice 2 borehole, depth 99.0 m, Late Oxfordian
- Fig. 12. *Spirillina andreae* Bielecka, przekrój osiowy; otwór wiertniczy Cianowice 2, głęb. 233,0 m, wczesny oksford
Spirillina andreae Bielecka, axial section; Cianowice 2 borehole, depth 233.0 m, Early Oxfordian



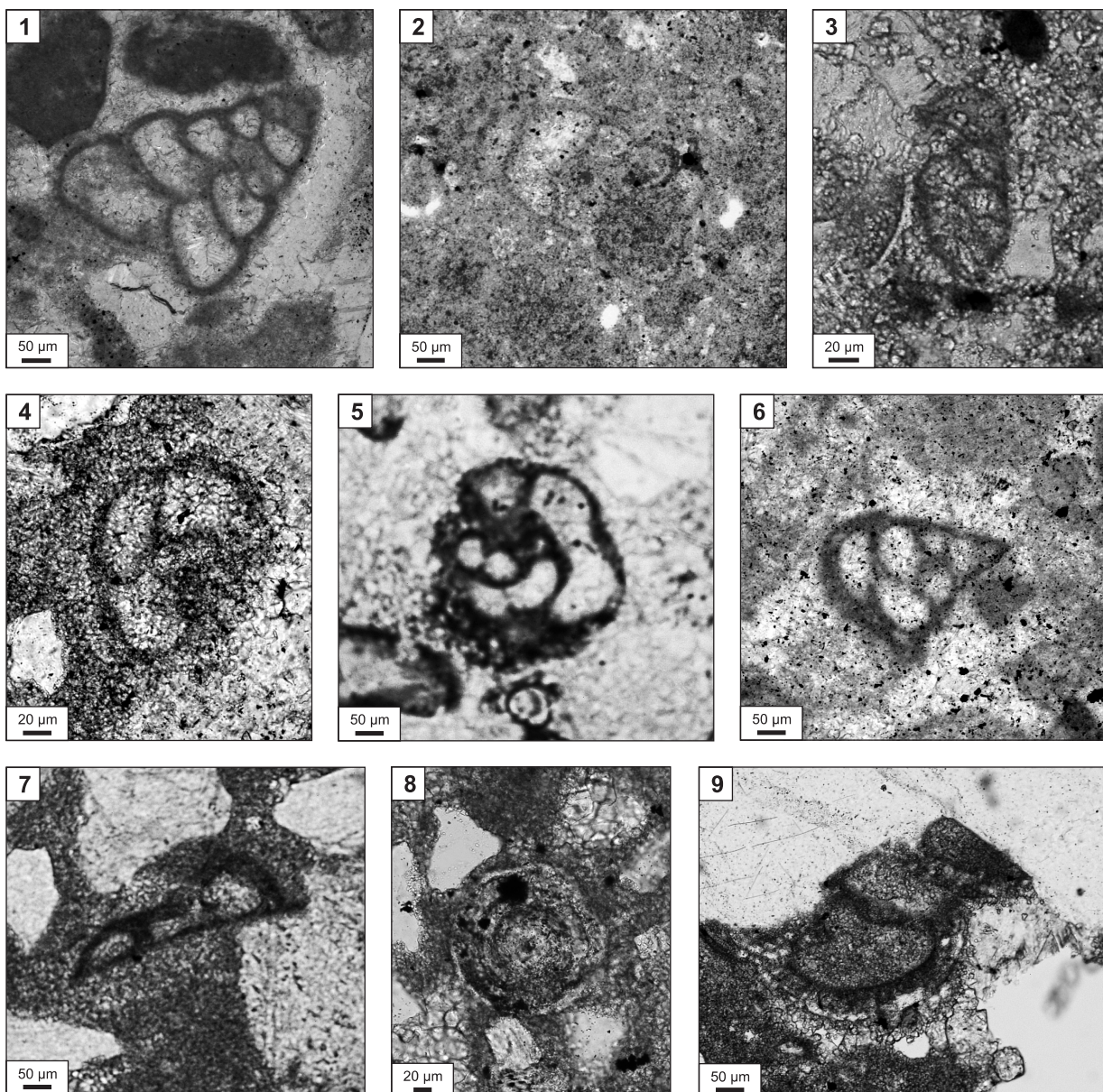
TABLICA III

- Fig. 1. *Protomarssonella jurassica* (Mityanina), przekrój podłużny; otwór wiertniczy Cianowice 2, głęb. 38,5 m, późny oksford
Protomarssonella jurassica (Mityanina), longitudinal section; Cianowice 2 borehole, depth 38.5 m, Late Oxfordian
- Fig. 2. *Rumanolina feifeli* (Paalzow), przekrój osiowy; otwór wiertniczy Cianowice 2, głęb. 150,3 m, późny oksford
Rumanolina feifeli (Paalzow), axial section; Cianowice 2 borehole, depth 150.3 m, Late Oxfordian
- Fig. 3. *Paalzowella turbinella* (Gümbel), przekrój osiowy; otwór wiertniczy Cianowice 2, głęb. 217,6 m, oksford ?środkowy
Paalzowella turbinella (Gümbel), axial section; Cianowice 2 borehole, depth 217.6 m, ?Middle Oxfordian
- Fig. 4. *Ammobaculites irregularis* (Gümbel), przekrój podłużny; otwór wiertniczy Trojanowice 2, głęb. 121,7 m, późny oksford
Ammobaculites irregularis (Gümbel), longitudinal section; Trojanowice 2 borehole, depth 121.7 m, Late Oxfordian
- Fig. 5. *Paleogaudryina heersumensis* (Lutze), przekrój podłużny; otwór wiertniczy Cianowice 2, głęb. 35,6 m, późny oksford
Paleogaudryina heersumensis (Lutze), longitudinal section; Cianowice 2 borehole, depth 35.6 m, Late Oxfordian
- Fig. 6. *Bullopora tuberculata* (Sollas), przekrój poprzeczny; otwór wiertniczy Cianowice 2, głęb. 35,4 m, późny oksford
Bullopora tuberculata (Sollas), transversal section; Cianowice 2 borehole, depth 35.4 m, Late Oxfordian
- Fig. 7. *Globuligerina oxfordiana* (Grigelis), przekrój osiowy; otwór wiertniczy Trojanowice 2, głęb. 232,7 m, wczesny oksford
Globuligerina oxfordiana (Grigelis), axial section; Trojanowice 2 borehole, depth 232.7 m, Early Oxfordian
- Fig. 8. *Globuligerina cf. bathoniana* (Pazdro), przekrój osiowy; otwór wiertniczy Cianowice 2, głęb. 232,7 m, wczesny oksford
Globuligerina cf. bathoniana (Pazdro), axial section; Cianowice 2 borehole, depth 232.7 m, Early Oxfordian



TABLICA IV

- Fig. 1. *Protomarssonella osowiensis* Bielecka et Styk, przekrój podłużny; otwór wiertniczy Cianowice 2, głęb. 234,3 m, późny kelowej
Protomarssonella osowiensis Bielecka et Styk, longitudinal section; Cianowice 2 borehole, depth 234.3 m, Late Callovian
- Fig. 2. *Eomarssonella paraconica* Levina przekrój ;podłużny; otwór wiertniczy Cianowice 2, głęb. 82,5 m, późny oksford
Eomarssonella paraconica levina, longitudinal section; Cianowice 2 borehole, depth 82.5 m, Late Oxfordian
- Fig. 3. *Dorothia insperata* Bułynnikova, przekrój podłużny; otwór wiertniczy Cianowice 2, głęb. 234,5 m, kelowej
Dorothia insperata Bułynnikova, longitudinal section; Cianowice 2 borehole, depth 234.5 m, Callovian
- Fig. 4. *Trochammina* sp. przekrój skośny; otwór wiertniczy Cianowice 2, głęb. 234,5 m, kelowej
Trochammina sp. oblique section; Cianowice 2 borehole, depth 234.5 m, Callovian
- Fig. 5. *Bosniella croatica* (Gušić), przekrój skośny; otwór wiertniczy Trojanowice 2, głęb. 294,7 m, ?kelowej
Bosniella croatica (Gušić), oblique section; Trojanowice 2 borehole, depth 294.7 m, ?Callovian
- Fig. 6. *Verneuilinoides minimus* (Kosyreva), przekrój podłużny przez część początkową; otwór wiertniczy Trojanowice 2, głęb. 294,7 m, ?kelowej
Verneuilinoides minimus (Kosyreva), longitudinal section of the initial part; Trojanowice 2 borehole, depth 294.7 m, ?Callovian
- Fig. 7. *Nubecularia reicheli* Rat, przekrój poprzeczny; otwór wiertniczy Cianowice 2, głęb. 235,3 m, kelowej
Nubecularia reicheli Rat, transversal section; Cianowice 2 borehole, depth 235.3 m, Callovian
- Fig. 8. *Spirillina* cf. *radiata* Terquem, przekrój równikowy; otwór wiertniczy Cianowice 2, głęb. 234,4 m, kelowej
Spirillina cf. *radiata* Terquem, equatorial section; Cianowice 2 borehole, depth 234.4 m, Callovian
- Fig. 9. *Subbdelloidina* sp. przekrój poprzeczny; otwór wiertniczy Cianowice 2, głęb. 235,5 m, kelowej
Subbdelloidina sp. transversal section; Cianowice 2 borehole, depth 235.5 m, Callovian



TABLICA V

- Fig. 1. *Comittosphaera czestochowiensis* Řehánek, otwór wiertniczy Trojanowice 2, głęb. 269,0 m, wczesny oksford
Comittosphaera czestochowiensis Řehánek, Trojanowice 2 borehole, depth 269.0 m, Early Oxfordian
- Fig. 2. *Colomisphaera fibrata* (Nagy), otwór wiertniczy Trojanowice 2, głęb. 269,0 m, wczesny oksford
Colomisphaera fibrata (Nagy), Trojanowice 2 borehole, depth 269.0 m, Early Oxfordian
- Fig. 3. *Colomisphaera lapidosa* (Vogler), otwór wiertniczy Cianowice 2, głęb. 233,5 m, najniższy oksford
Colomisphaera lapidosa (Vogler), Cianowice 2 borehole, depth 233.5 m, earliest Oxfordian
- Fig. 4. *Orthopithonella gustafsonii* Bolli, otwór wiertniczy Trojanowice 2, głęb. 141,5 m, późny oksford
Orthopithonella gustafsonii Bolli, Trojanowice 2 borehole, depth 141.5 m, Late Oxfordian
- Fig. 5. *Colomisphaera* cf. *carpathica* (Borza), otwór wiertniczy Cianowice 2, głęb. 112,5 m, późny oksford
Colomisphaera cf. *carpathica* (Borza), Cianowice 2 borehole, depth 112.5 m, Late Oxfordian
- Fig. 6. fragment secundibranchium *Saccocoma* sp., otwór wiertniczy Cianowice 2, głęb. 35,5 m, późny oksford
a fragment of pelagic crinoid *Saccocoma* sp., Cianowice 2 borehole, depth 35.5 m, Late Oxfordian
- Fig. 7. kolonia wieloszczetów, otwór wiertniczy Cianowice 2, głęb. 191,0 m, ?oksford środkowy
a colony of polychaete worms, Cianowice 2 borehole, depth 191.0 m, ?Middle Oxfordian
- Fig. 8. *Terebella lapilloides* Münster, przekrój poprzeczny, otwór wiertniczy Trojanowice 2, głęb. 96,5 m, późny oksford
Terebella lapilloides Münster, transversal section, Trojanowice 2 borehole, depth 96.5 m, Late Oxfordian
- Fig. 9. *Crescentiella morronensis* (Crescenti), przekrój podłużny, otwór wiertniczy Trojanowice 2, głęb. 96,5 m, późny oksford
Crescentiella morronensis (Crescenti), longitudinal section Trojanowice 2 borehole, depth 96.5 m, Late Oxfordian

